

기후분석정보



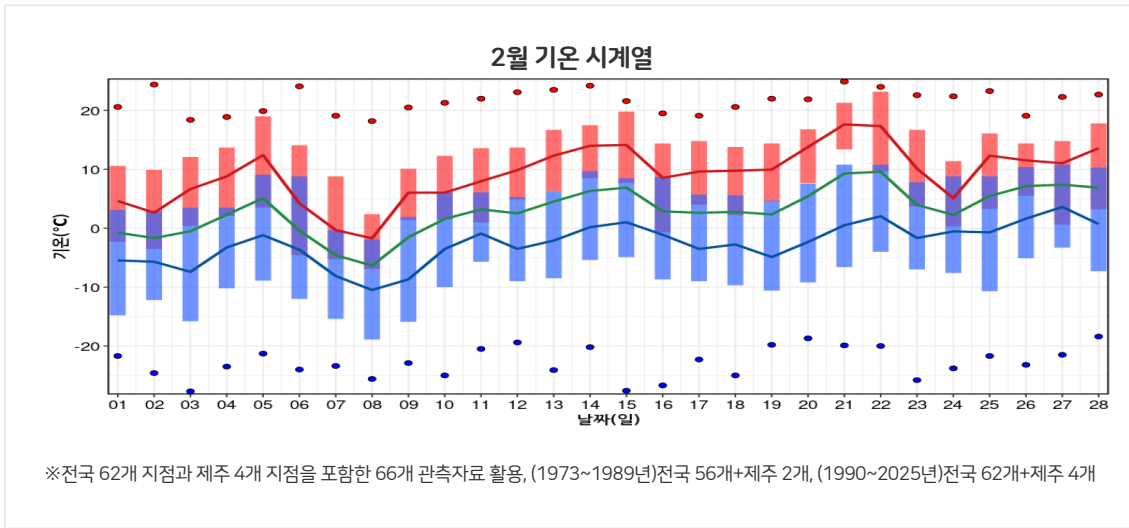
2월 우리나라 기후동향

요약

2월 평년보다 높은 기온, 적은 강수량으로 건조 지속

- 평균기온 2.7°C로 평년(1.2°C)보다 1.5°C 높아, 7~9일에 기온이 일시적으로 떨어졌으나 중순 이후 고온 지속
- 이동성고기압 영향을 주로 받아 건조 경향, 강수량 17.3mm로 평년(26.2mm) 대비 44.6% 수준

기온



현황

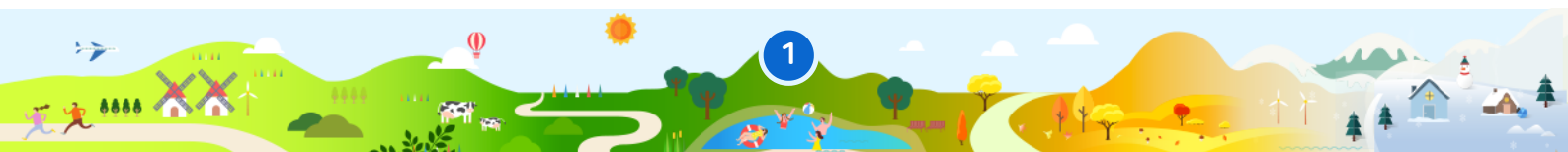
- 전국 평균기온은 2.7°C로 평년(1.2°C)보다 1.5°C 높았습니다(상위 9위). 대륙고기압이 대체로 평년보다 약하고 이동성고기압의 영향을 주로 받아 기온이 평년보다 높았습니다. 또한, 티베트 부근의 상층에서 고기압성 순환이 자주 발달하여 우리나라로 확장하거나 이동해오며 기온 상승에 영향을 주었습니다.

기온 관련 기상요소별 순위 (1973년 이후 전국평균)

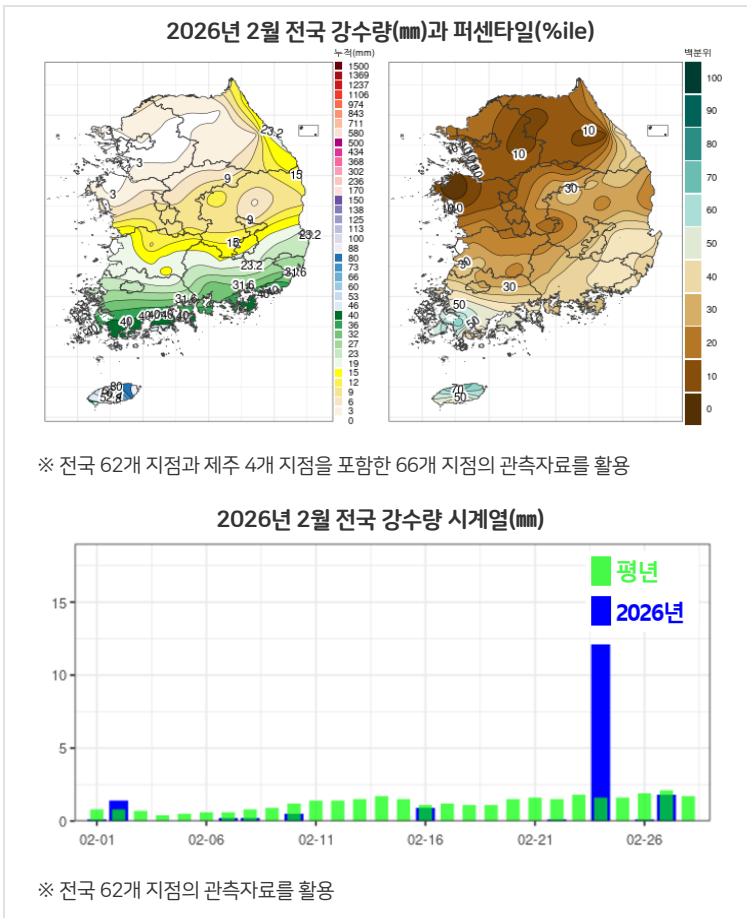
구분	2026년 2월			
	평균값 (°C)	평년값 (°C)	평년편차 (°C)	순위(상위)
평균기온	2.7	1.2	+1.5	9위
평균 최고기온	9.0	7.0	+2.0	4위
평균 최저기온	-3.0	-3.9	+0.9	18위

※ 전국평균: 1973년 이후부터 연속적으로 관측한 전국 62개 지점의 관측자료를 활용((1973~1989년) 56개 지점, (1990~2026년) 62개 지점)

※ 평년값: 1991~2020년 적용



강수량



현황

- 2월 전국 강수량은 17.3mm로 평년(27.5~44.9mm)의 44.6% 수준으로 적었고, 강수일수는 3.7일로 평년(6.1일)보다 2.4일 적었습니다.

원인

- 2월은 상층기압계 흐름이 원활한 가운데, 하층에 이동성고기압의 영향을 주로 받아 건조한 경향이 이어졌습니다.
- 또한, 열대 서태평양 지역에서 대류 활동이 평년보다 활발하여 우리나라 북동쪽에 저기압성 순환을 발달시켜 건조한 공기가 유입되면서 강수량이 적었습니다.

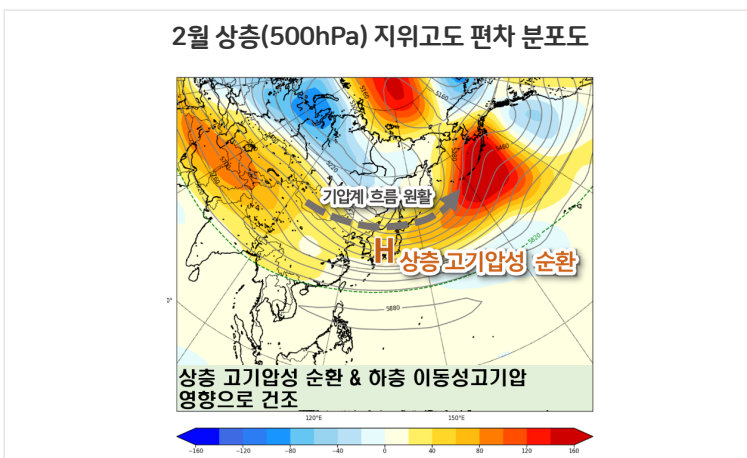
강수량 관련 기상요소별 순위 (1973년 이후 전국평균)

구분	2026년 2월		
	값	퍼센타일(강수량)/평년편차(강수일수)	순위(하위)
강수량	17.3mm	17.0%ile	13위
강수일수	3.7일	-2.4일	6위

※ 전국평균: 1973년 이후부터 연속적으로 관측한 전국 62개 지점의 관측자료를 활용((1973~1989년) 56개 지점, (1990~2026년) 62개 지점)

※ 평년값: 1991~2020년 적용

2월 기후특성 모식도



건조 원인

- 상층 기압계 흐름이 원활하고 고기압성 순환이 발달한 가운데, 하층에 이동성고기압의 영향을 주로 받아 건조한 경향이 이어졌습니다.
- 상층에 고기압성 순환이 발달한 데에는 티베트 지역의 평년보다 적은 눈덮임이 영향을 주었습니다.

주요 기후요소 비교 - 기온·강수량

작년 비교

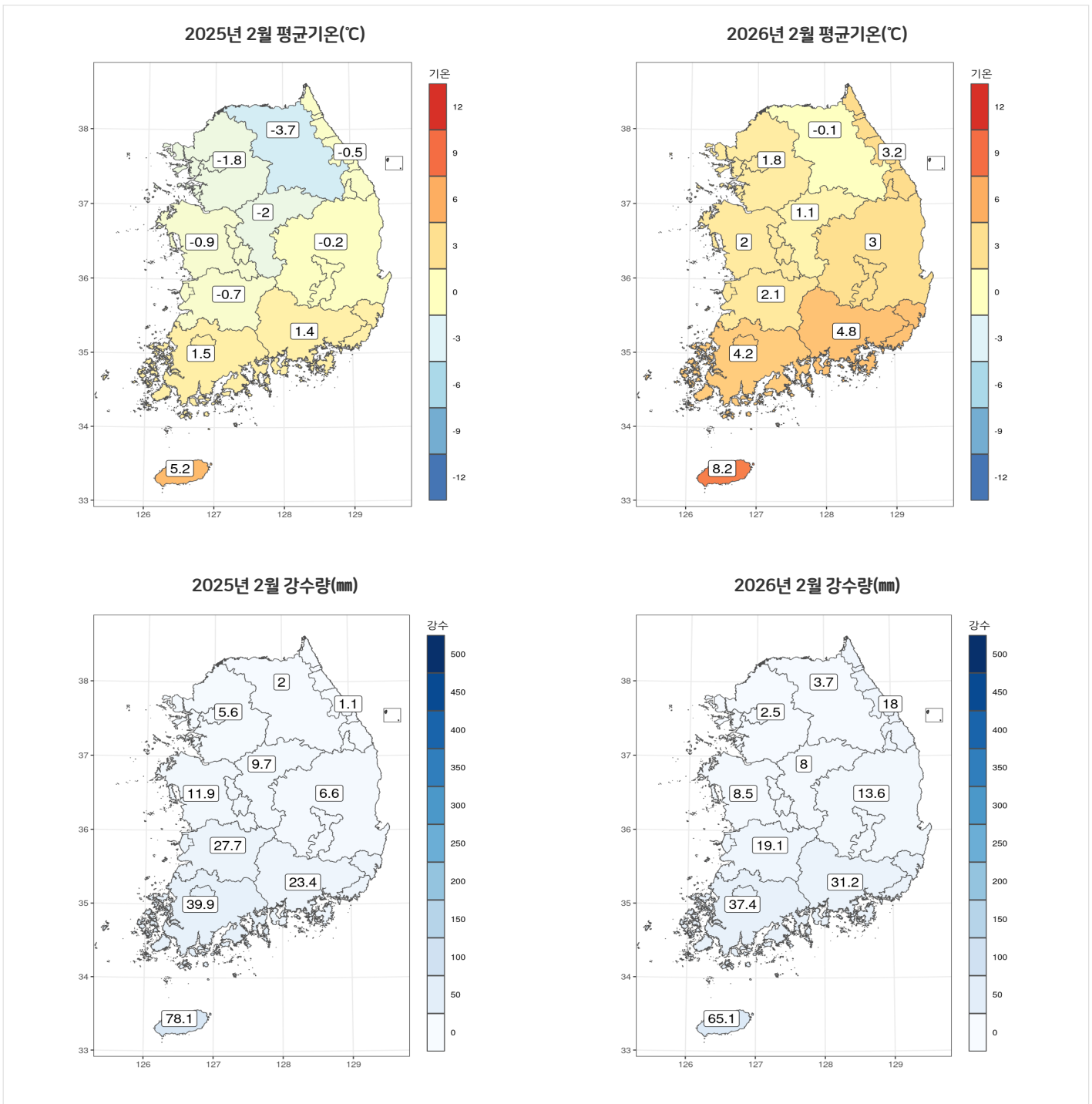
• 2월 전국 평균기온은 작년보다 3.2℃ 높았고, 강수량은 작년보다 1.6mm 많았습니다.

• [기온] 올해(2.7℃) vs 작년(-0.5℃)

전국적으로 기온이 작년보다 높았고, 작년 대비 2.7~3.7℃ 분포를 보였습니다.

• [강수] 올해(17.3mm) vs 작년(15.7mm)

수도권, 충청, 전라, 제주 지역에서는 강수량이 작년보다 적었고, 강원, 경상 지역에서는 강수량이 작년보다 많았으며, 작년 대비 -13.0~16.9mm 분포를 보였습니다.

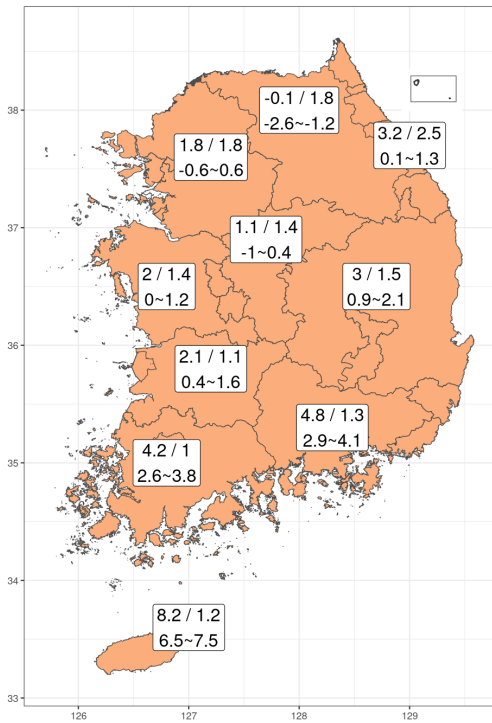


※ 전국 66개 지점의 관측자료를 활용(제주 평균은 제주시와 서귀포시의 4개 지점의 관측자료를 활용)

평년 비교

- 2월 평균기온은 평년 대비 1.5°C 높았고, 강수량은 평년보다 적었습니다.
- (기온) 전국 평균기온은 2.7°C로 평년(0.6~1.8°C)보다 높았으며, 전국적으로 기온이 평년보다 높았습니다.
- (강수량) 전국 강수량은 17.3mm로 평년(27.5~44.9mm)보다 적었으며, 전남과 제주를 제외한 전국 대부분 지역에서 강수량이 평년보다 적었습니다.

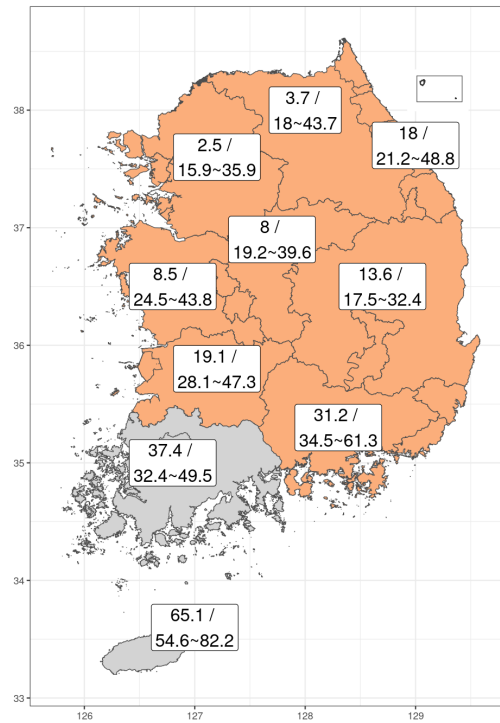
평균기온(°C)



낮음 비슷 높음

※ 네모 박스 위: 월 평균값(°C)/편차(°C),
아래: 평년(1991~2020년) 비슷범위(°C)

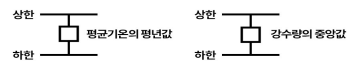
강수량(mm)



적음 비슷 많음

※ 네모 박스 위: 월 누적값(mm),
아래: 평년(1991~2020년) 비슷범위(mm)

※ 평년비슷범위: 과거 30년(1991~2020년)간 연도별 30개의
평균값 중 대략적으로 33.33%~66.67%에 해당하는 값



우리나라 월별 평균기온 평년편차와 순위 (2025년 3월 ~ 2026년 2월)

년/월	2025년										2026년		기준
	3월	4월	5월	6월	7월	8월	9월	10월	11월	12월	1월	2월	
월평균(°C)	7.6	13.1	16.8	22.9	27.1	27.1	23.0	16.6	8.5	2.4	-1.6	2.7	
평년편차(°C)	+1.5	+1.0	-0.5	+1.5	+2.5	+2.0	+2.5	+2.3	+0.9	+1.3	-0.7	+1.5	평년(1991 ~ 2020년)
순위(상위)	7	10	33	1	2	2	2	1	11	10	37	9	1973 ~ 2026년

※ 전국평균 및 순위: 1973년 이후 연속적으로 관측한 전국 62개 지점의 관측자료를 활용((1973~1989년) 56개 지점, (1990~2026년) 62개 지점)

주요 기후요소 비교 - 강수·눈일수

작년 비교

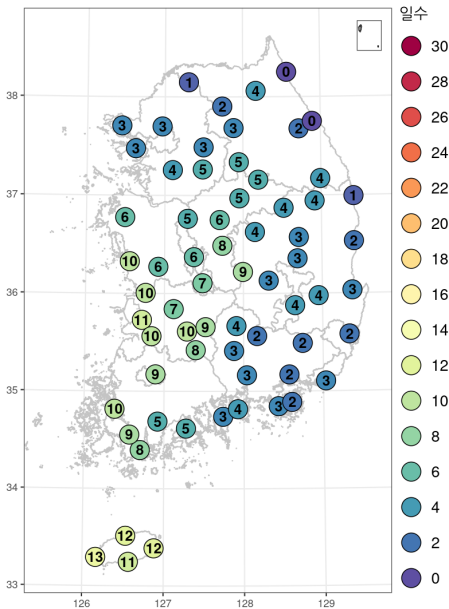
• [강수일수] 올해(3.7일) vs 작년(4.8일)

강원(속초, 강릉 등)과 남부지방(여수, 장흥, 울진, 울산 등) 일부 지역을 제외한 전국 대부분의 지역에서 강수일수가 작년보다 적었습니다(평년 6.1일).

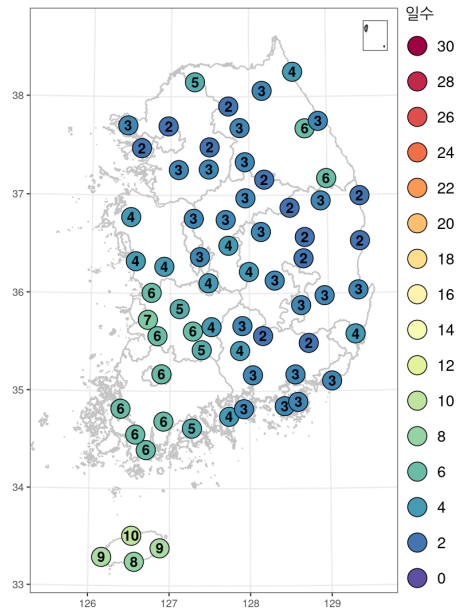
• [눈일수] 올해(3.5일) vs 작년(6.1일)

서쪽지역을 중심으로 눈일수가 작년보다 적었습니다(평년 4.4일).

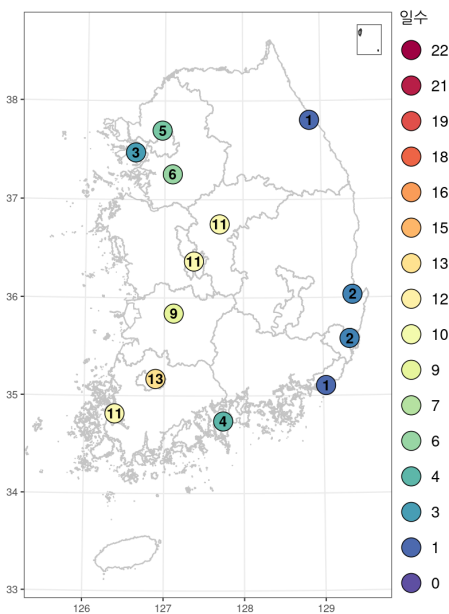
2025년 2월 강수일수(일)



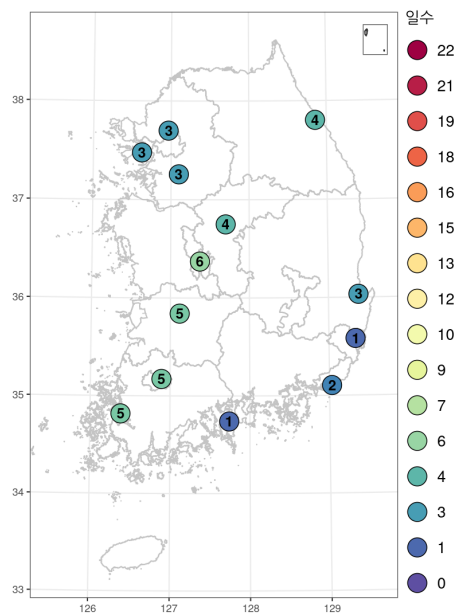
2026년 2월 강수일수(일)



2025년 2월 눈일수(일)



2026년 2월 눈일수(일)



※ 강수일수: 일강수량이 0.1mm 이상인 날의 일수

※ 눈일수: 눈, 소낙눈, 가루눈, 눈보라, 소낙성진눈깨비, 진눈깨비, 싸락눈 중 어느 하나가 관측된 일수

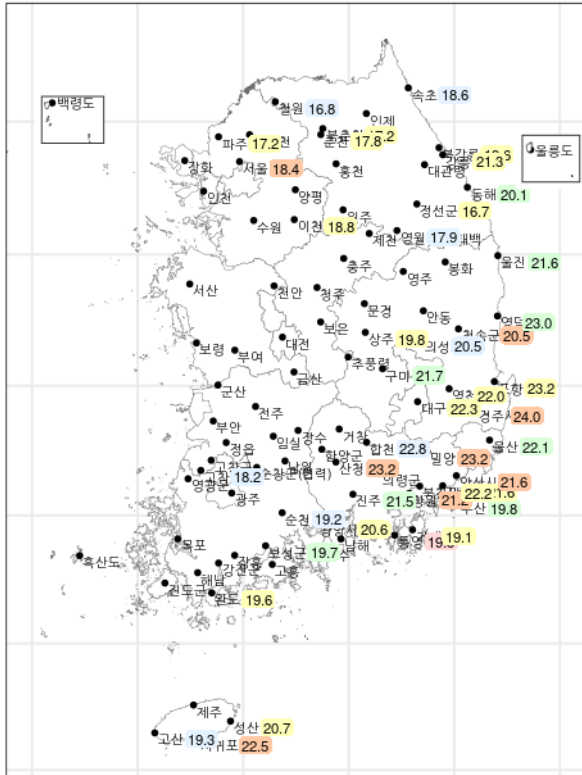
주요 기후요소 비교-극값

우리나라 극값 현황

· [기온, 풍속] 21~22일에 우리나라 남동쪽에 위치한 고기압과 북서쪽의 저기압 사이에서 따뜻한 남서풍이 강하게 유입되면서 동쪽 지역을 중심으로 일최고기온 최고 5위 이내, 일최대순간풍속 최대 5위 이내를 기록한 지점이 있습니다.

1위 2위 3위 4위 5위

일최고기온 최고(°C)



1위: 통영(19.5°C)

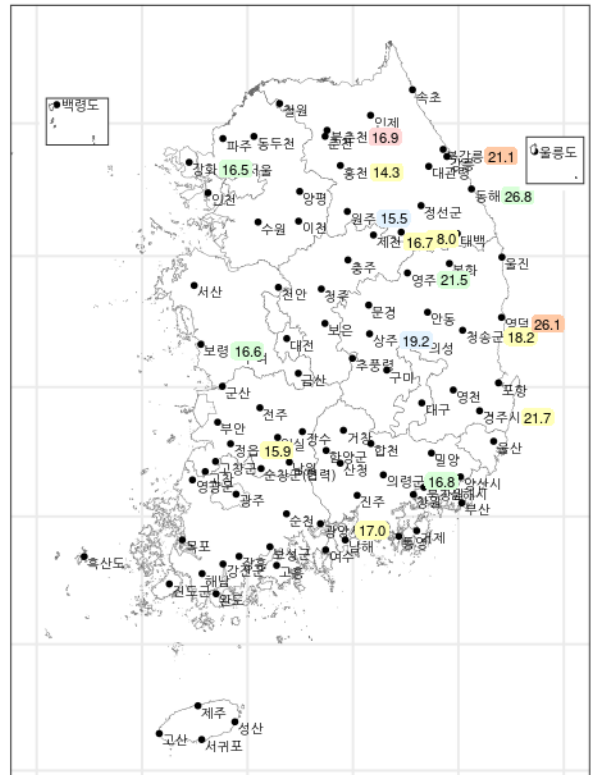
2위: 경주시(24°C), 밀양(23.2°C), 산청(23.2°C), 서귀포(22.5°C), 양산시(21.6°C), 창원(21.2°C), 청송군(20.5°C), 서울(18.4°C)

3위: 포항(23.2°C), 대구(22.3°C), 북창원(22.2°C), 영천(22°C), 김해시(21.6°C), 강릉(21.3°C), 성산(20.7°C), 광양시(20.6°C), 상주(19.8°C), 북강릉(19.6°C), 완도(19.6°C), 거제(19.1°C), 이천(18.8°C), 춘천(17.8°C), 북춘천(17.2°C), 파주(17.2°C), 정선군(16.7°C)

4위: 영덕(23°C), 울산(22.1°C), 구미(21.7°C), 울진(21.6°C), 진주(21.5°C), 동해(20.1°C), 부산(19.8°C), 보성군(19.7°C)

5위: 합천(22.8°C), 의성(20.5°C), 고산(19.3°C), 순천(19.2°C), 속초(18.6°C), 고창(18.2°C), 영월(17.9°C), 철원(16.8°C)

일최대순간풍속 최대(m/s)



1위: 북춘천(16.9m/s)

2위: 영덕(26.1m/s), 북강릉(21.1m/s)

3위: 경주시(21.7m/s), 청송군(18.2m/s), 영월(18m/s), 광양시(17m/s), 제천(16.7m/s), 정읍(15.9m/s), 홍천(14.3m/s)

4위: 동해(26.8m/s), 영주(21.5m/s), 의령군(16.8m/s), 보령(16.6m/s), 강화(16.5m/s)

5위: 상주(19.2m/s), 원주(15.5m/s)

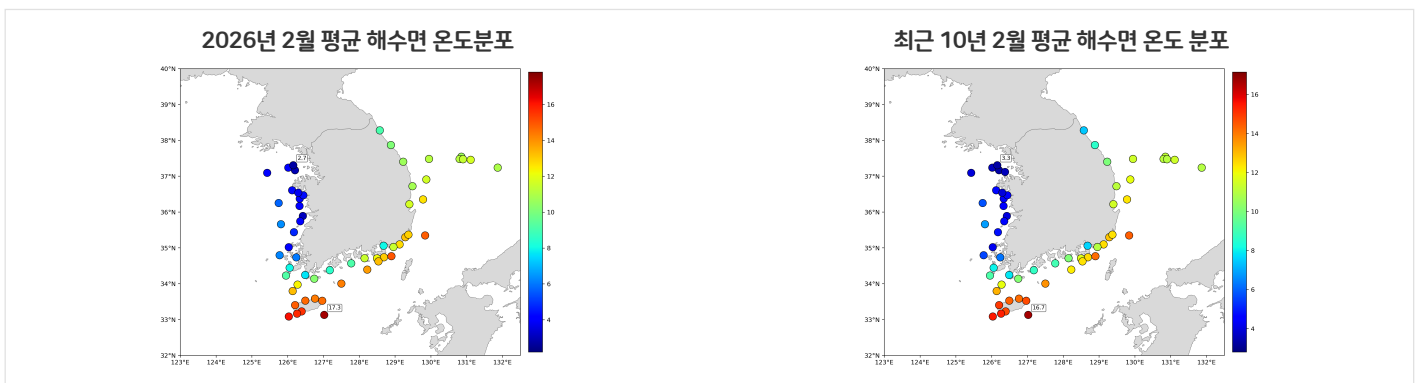
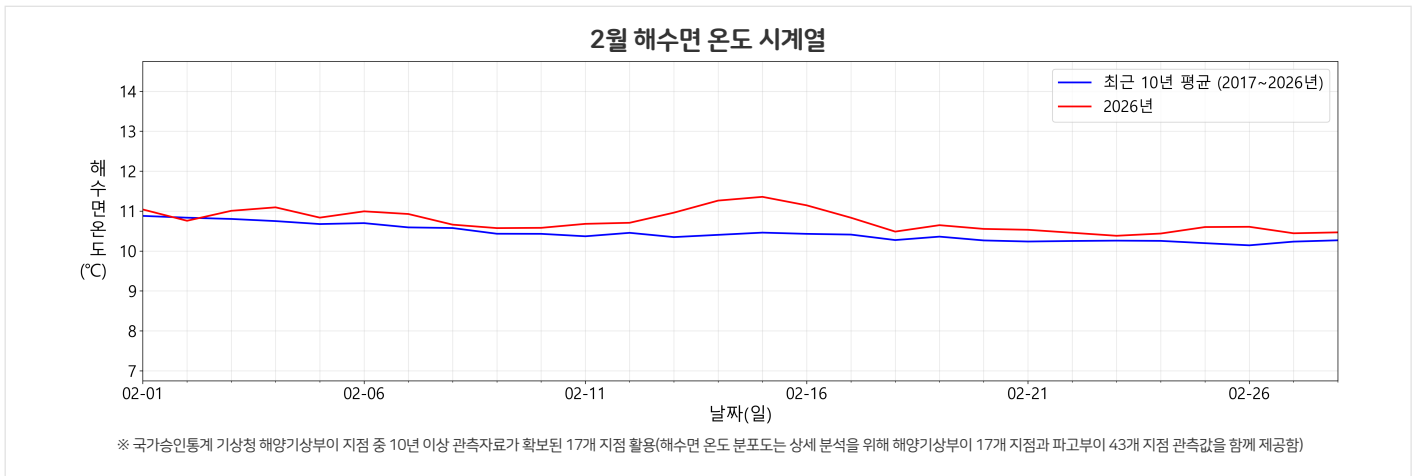
※ 각 지점별 관측개시 이후부터 10년 이상 연속적으로 관측한 93개 지점의 관측자료를 활용(같은 극값이 2개 이상 존재할 때는 최근 값을 우선순위로 함)

2월 해양 기후 특성

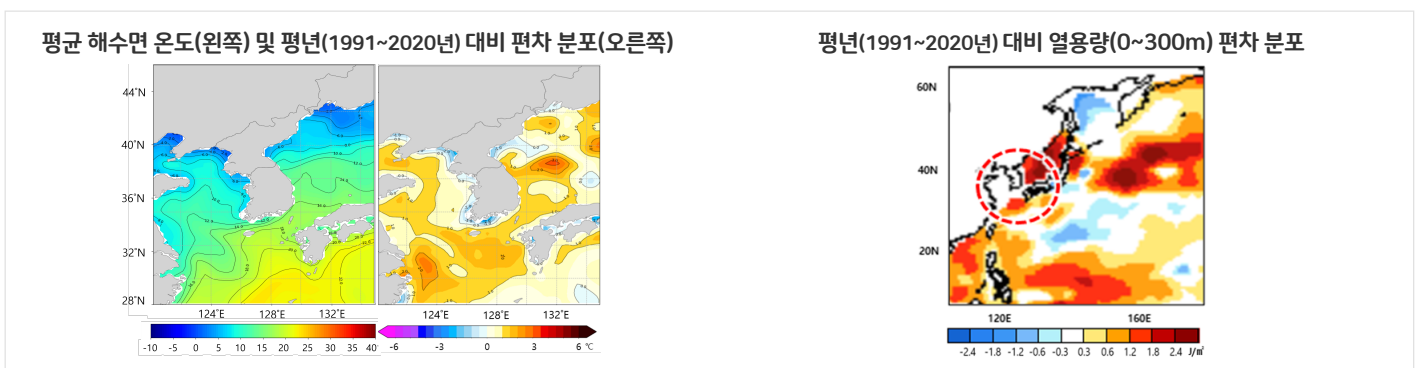
한반도 해수면온도

- [관측자료]** 2월 우리나라 주변 해역 해수면 온도*는 10.8°C로 최근 10년 평균보다 0.2°C 높았습니다. 해역별로는 남해가 14.9°C로 최근 10년(평균 14.2°C) 중 두 번째로 높았으며, 서해는 5.2°C(최근 10년 평균 대비 -0.1°C), 동해는 12.4°C(최근 10년 평균 대비 +0.1°C)로 최근 10년 평균과 비슷하였습니다.
 - 2월 중순에는 이동성고기압과 따뜻한 남서풍 유입의 영향을 받으며 최근 10년 평균 대비 편차 +0.5°C로 높게 나타났습니다.
 - ※ 2월 순별 평균 해수면 온도(최근 10년 평균 대비 편차): 상순 10.9°C(+0.2°C), 중순 10.9°C(+0.5°C), 하순 10.5°C(+0.3°C)
 - 우리나라 주변 해역 해양 열용량(수심 0~300m)이 평년보다 높은 상태로 해양에 열이 축적된 상태가 유지되면서 2월 해수면 온도는 최근 10년 평균보다 높은 수준을 보인 것으로 분석됩니다.
 - * 일정 수심 범위의 바닷물이 저장하고 있는 열의 총량으로, 열용량이 클수록 온도가 쉽게 변하지 않음
- [재분석자료]** 서남해 연안을 제외한 대부분 해역에서 평년보다 높은 해수면 온도 분포를 보였습니다.

관측자료



재분석자료(OISST)



※ 자료 출처: NOAA OISSTv2(Optimum Interpolation Sea Surface Temperature version 2, 최적 내삽(버전2)된 해수면 온도), NCEP GODAS(해양 열용량) 재분석자료

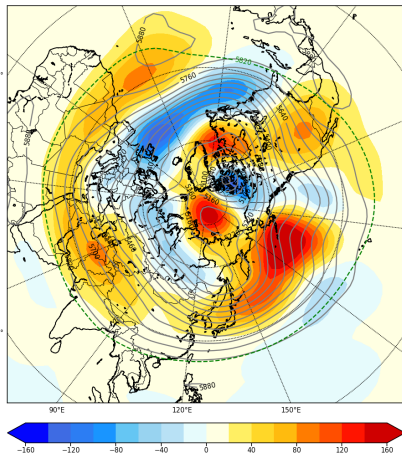
기후학적 원인분석

전 지구 순환장

- **[500hPa 지위고도]** 그린란드, 북아프리카, 아시아, 베링해 부근, 캐나다 동부, 미국 서부 등에서 평년보다 높은 지위고도가 나타났고, 북대서양, 유럽, 시베리아, 뉴질랜드, 미국 동부, 남아메리카 남부 등에서는 평년보다 낮은 지위고도가 나타났습니다.
- **[해면기압]** 그린란드, 북유럽, 티베트 고원, 베링해 부근, 알래스카 등에서 평년보다 높은 해면기압이 나타났고, 북대서양, 유럽, 시베리아, 캐나다 서부, 미국 등에서는 평년보다 낮은 해면기압이 나타났습니다.

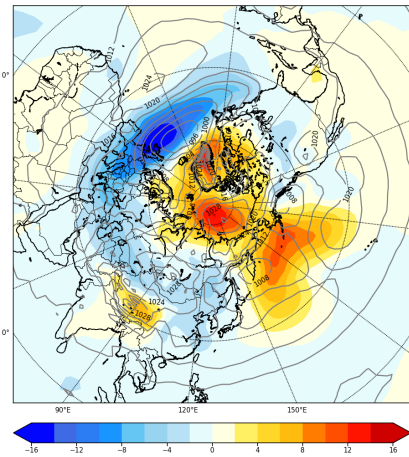
※ 지위고도: 지면에서 특정 기압이 되는 높이로 지위고도가 주변보다 높으면 고기압, 낮으면 저기압을 의미

500hPa 지위고도(m)



- ▶ 채색: (빨강)평년(1991~2020년)보다 높은 지위고도, (파랑)평년보다 낮은 지위고도
- ▶ 실선: (검정)2월 평균 지위고도, (초록)2월 평년 지위고도

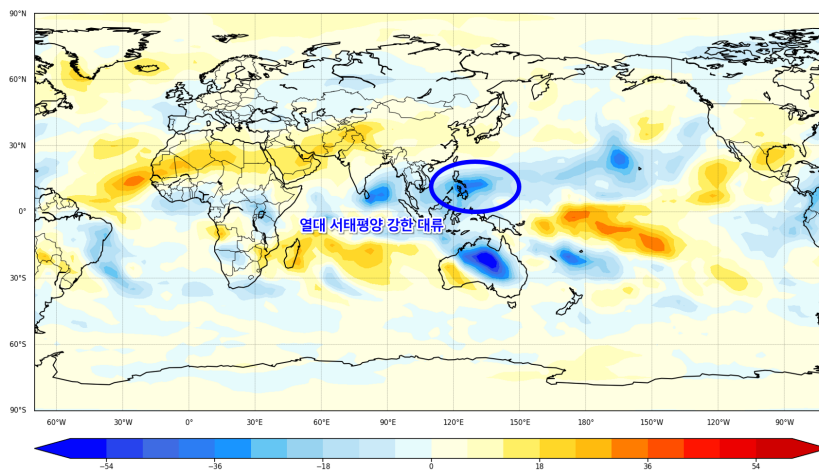
해면기압(hPa)



- ▶ 채색: (빨강)평년(1991~2020년)보다 높은 해면기압, (파랑)평년보다 낮은 해면기압
- ▶ 실선: (검정)2월 평균 해면기압

※ 자료출처: 미국 환경예측센터 NCEP(National Centers for Environmental Prediction) 재분석자료

열대 서태평양 대류 활동



• [열대 서태평양 대류 활동 강화]

: 열대 서태평양 지역에서 대류 활동이 평년보다 활발한 경우, 필리핀해 부근의 하층에 저기압성 순환이 유도되고 상층에 고기압성 순환이 나타나면서 대기 파동에 의해 남북방향으로 전파되어 우리나라 북동쪽 대기 상층에 저기압성 순환을 발달시킵니다. 2월에 열대 서태평양 지역에서 대류 활동이 평년보다 활발하였고, 우리나라 북동쪽에 저기압성 순환을 발달시켜 건조한 공기가 유입되었습니다.

※ 음의 값인 파란색은 평년보다 대류가 활발한 지역이며 대류가 활발하면 구름이 발달하고, 평상시보다 우주로 방출되는 지구 장파복사에너지가 구름에 가려 인공위성에서 적게 탐지되는 원리를 활용함

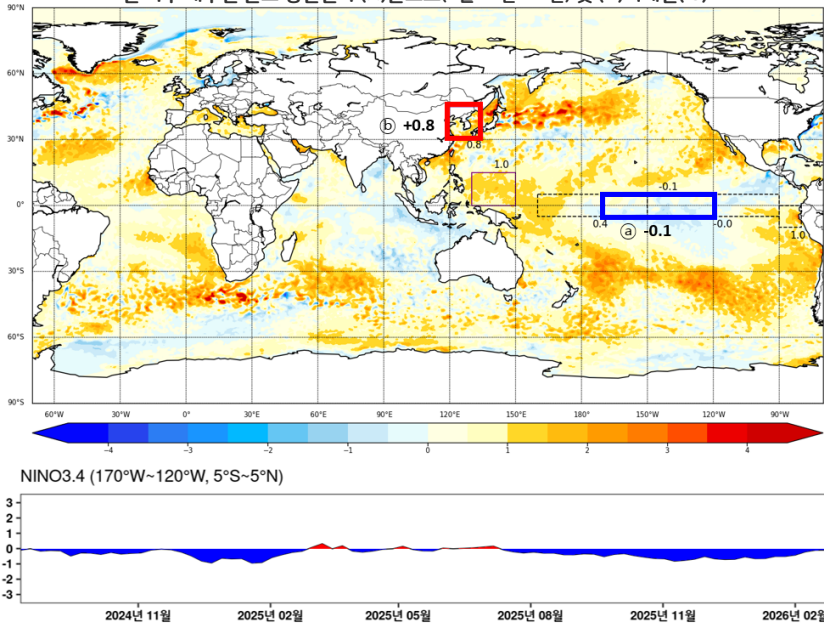
기후 감시 정보

해수면 온도

▶ 우리나라 엘니뇨(라니냐) 정의:

엘니뇨·라니냐 감시구역(열대 태평양 Nino3.4 지역: 5°S~5°N, 170°W~120°W)의 3개월 이동 평균한 해수면 온도의 평년편차가 +0.5°C 이상(-0.5°C 이하) 5개월 이상 지속될 때 그 첫 달을 엘니뇨(라니냐)의 시작으로 봄

전 지구 해수면 온도 평년편차 (A)분포도(2월 22일~28일) 및 (B)시계열(°C)

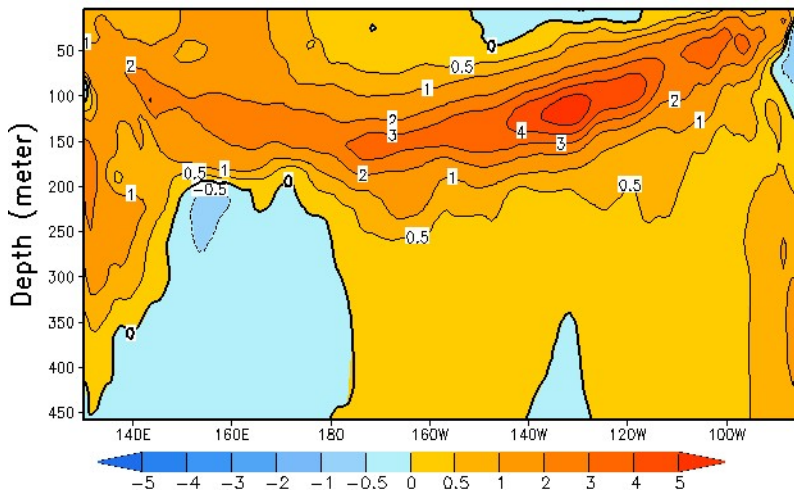


ⓐ엘니뇨·라니냐 감시구역: 5°S~5°N, 170°W~120°W
 ⓑ우리나라 주변: 30°N~45°N, 120°E~135°E
 ※ 자료출처: NOAA OISSTv2(Optimum Interpolation Sea Surface Temperature version2, 최적 내삽(버전2)된 해수면 온도)

• [전 지구 해수면 온도]

: 최근 해수면 온도는 열대 태평양 엘니뇨·라니냐 감시구역(ⓐ)에서 평균 26.7°C로 평년보다 0.1°C 낮았고, 우리나라 주변(ⓑ)의 해수면 온도는 평균 10.5°C로 평년보다 0.8°C 높았습니다.

열대 태평양 해저수온 평년편차(2월 22일 기준)(°C)



※ 평년보다 높은 수온(빨강)/평년보다 낮은 수온(파랑)
 ※ 자료출처: NOAA/Pacific Marine Environmental Laboratory/Tropical Atmosphere Ocean project(www.pmel.noaa.gov/tao)

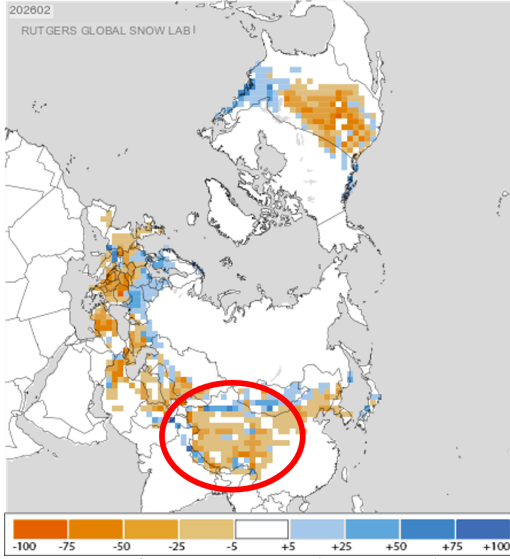
• [열대 태평양 해저수온]

: 2월 22일 기준, 중태평양(160°W~120°W) 표층(50m 내)과 동태평양(100°W~90°W) 수심 150m 이내에서 -1.0~-0.5°C의 음의 해저수온편차가 나타나고 있고, 그 외 대부분 지역에서는 0.5~5.0°C로 양의 해저 수온편차가 광범위하게 나타나고 있습니다.

기후 감시 정보

계절 감시 및 분석

티베트 눈덮임 편차(2월)

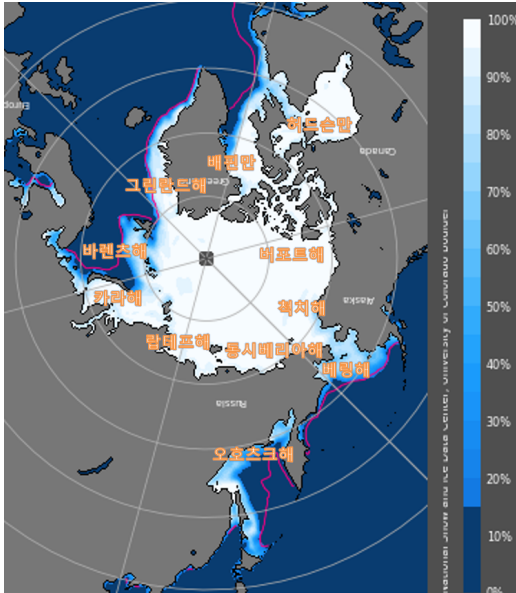


※ 자료출처: Rutgers University(눈덮임 평년편차)
 ※ 평년: 1970년 9월~2000년 8월

• [티베트 눈덮임 편차]

: 겨울철 동안 티베트 지역에서는 평년보다 적은 눈덮임을 보였습니다. 이로 인해 티베트 부근의 상층에서 고기압성 순환이 자주 발달하여 우리나라로 확장하거나 이동해오면서 기온 상승에 기여하였습니다.

북극해 얼음 면적 현황(2월)



▶ 실선: (분홍색)북극해 얼음 평년(1981~2010년) 면적
 ※ 자료출처: 미국 설빙데이터센터(NSIDC)

• [북극해 얼음]

: 북극해 얼음은 전반적으로 평년보다 적은 경향을 보이고 있으며, 카라-바렌츠해와 오호츠크해에서는 평년보다 적은 분포를 보였고, 베링해에서는 평년과 비슷한 분포를 보였습니다.

※ 카라-바렌츠해 해빙이 적은 경우 우랄산맥 부근에서 기압능이 발달하면서 동아시아에 한파를 유도할 수 있음

전 세계 기온

- 전 세계적으로 2월 평균기온은 13.0°C였으며, 평년(12.7°C) 대비 0.3°C 높았습니다.
- [평년 대비 높은 지역] 아프리카 북부, 중동, 중앙아시아, 동아시아, 미국 서부, 칠레
- [평년 대비 낮은 지역] 북유럽, 시베리아, 알래스카, 미국 동부, 남아메리카 남부

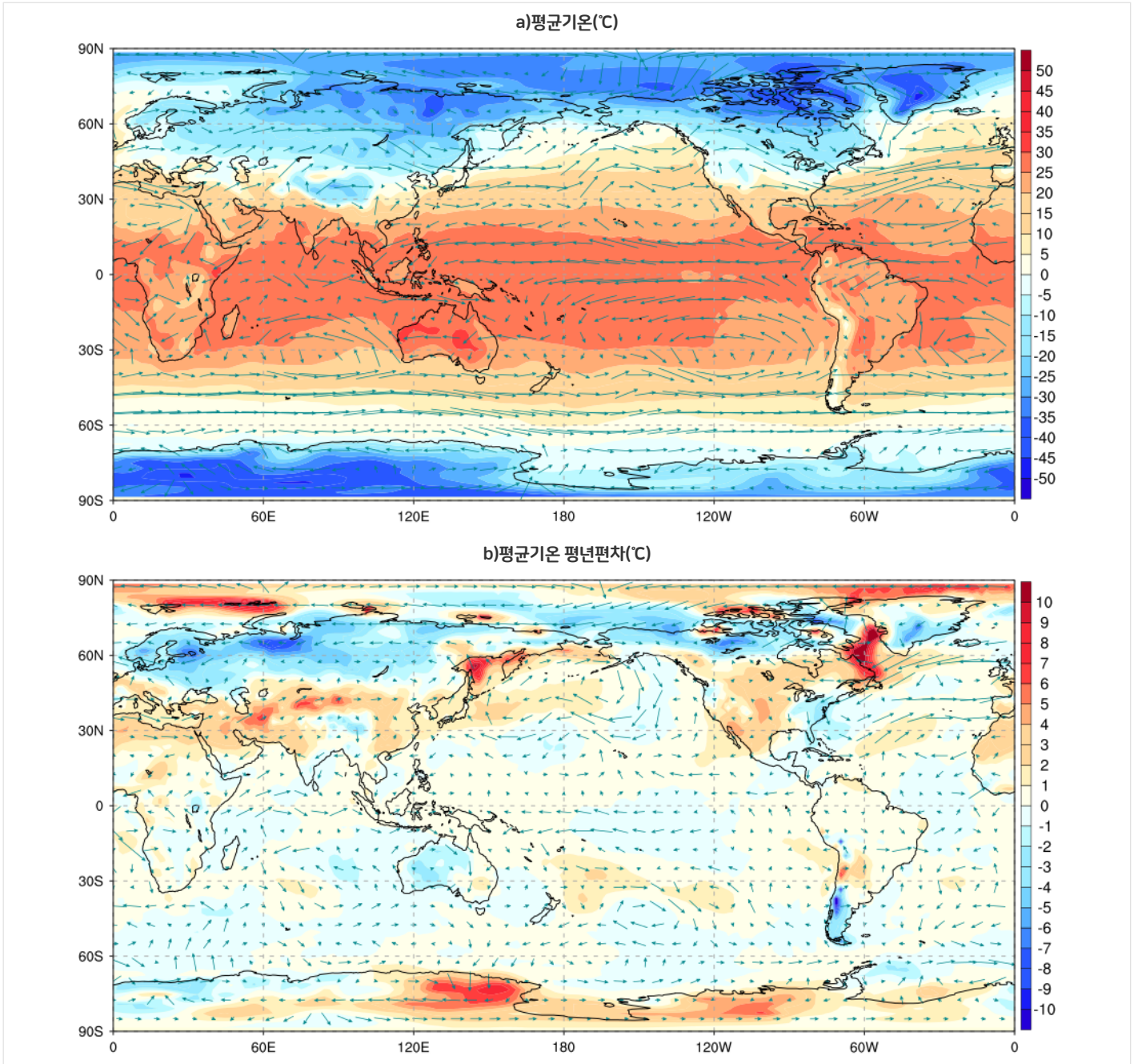


그림 a) ▶ 채색: (빨강)0°C 이상의 평균기온, (파랑)0°C 미만의 평균기온, 화살표: (청록색)850hPa 평균바람

그림 b) ▶ 채색: (빨강)평년보다 높은 기온, (파랑)평년보다 낮은 기온, 화살표: (청록색)850hPa 평균바람 평년편차

그림 b) 평균기온 평년편차(°C): 2026년 2월 평균기온 - 평년(1991~2020년) 2월 평균기온

※ 자료출처: 미국 환경예측센터(NCEP, National Centers for Environmental Prediction) 재분석자료(2m 평균기온)

※ 전 세계 평균기온값과 평년편차값은 모델 기반 재분석자료를 평균한 값이므로 실제 관측값과 차이가 있을 수 있습니다.

전 세계 강수량

- 전 세계적으로 2월 누적강수량은 76.8mm였으며, 평년(77.4mm)과 비슷하였습니다.
- [평년 대비 많은 지역] 남유럽, 중국 북부, 호주, 뉴질랜드, 알래스카, 캐나다, 남아메리카 북부
- [평년 대비 적은 지역] 북유럽, 중국 남부, 한국, 일본, 미국 동부

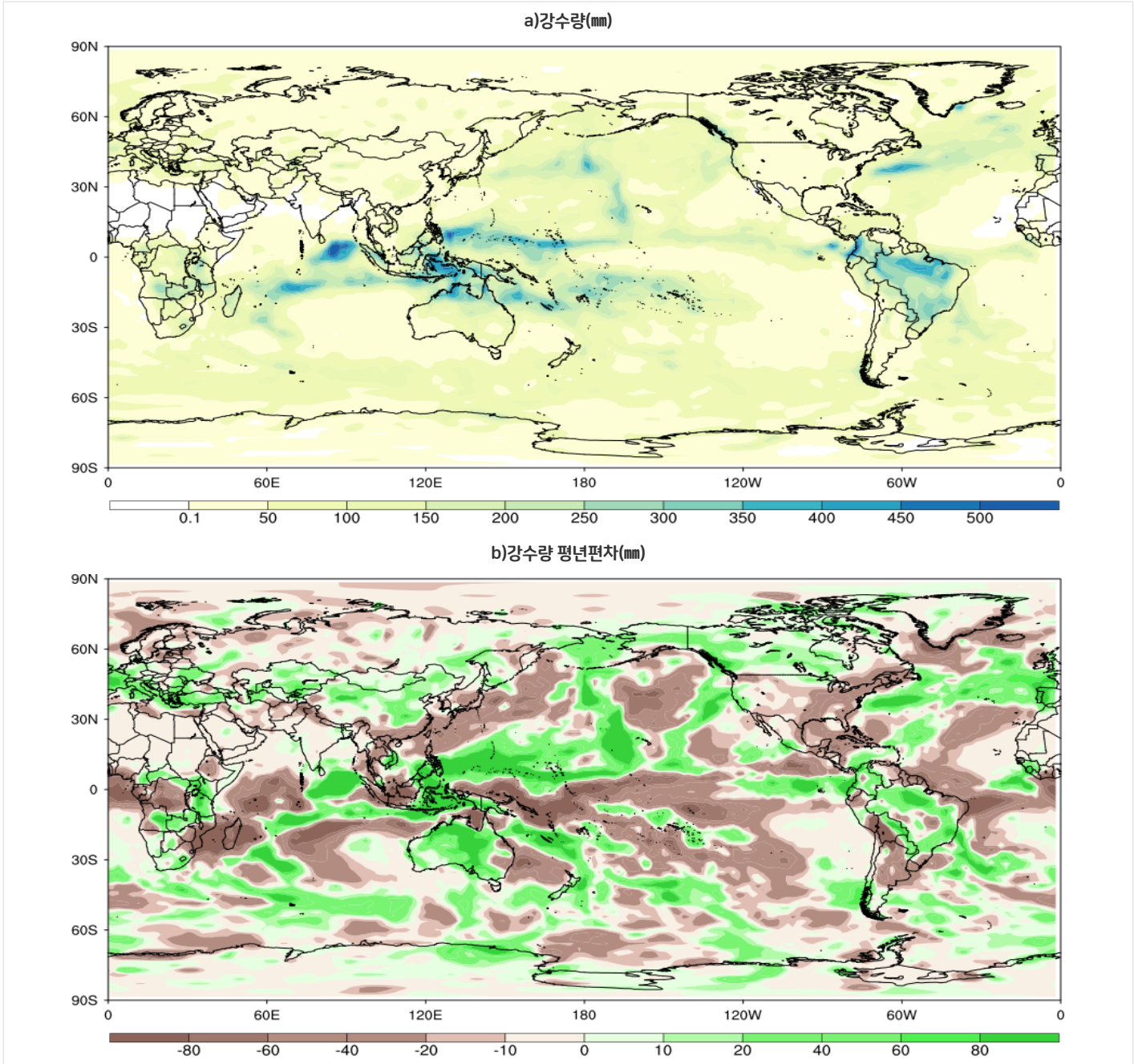


그림 a) ▶ 채색: (초록)월 누적 강수량

그림 b) ▶ 채색: (초록)평년보다 많은 강수량, (갈색)평년보다 적은 강수량

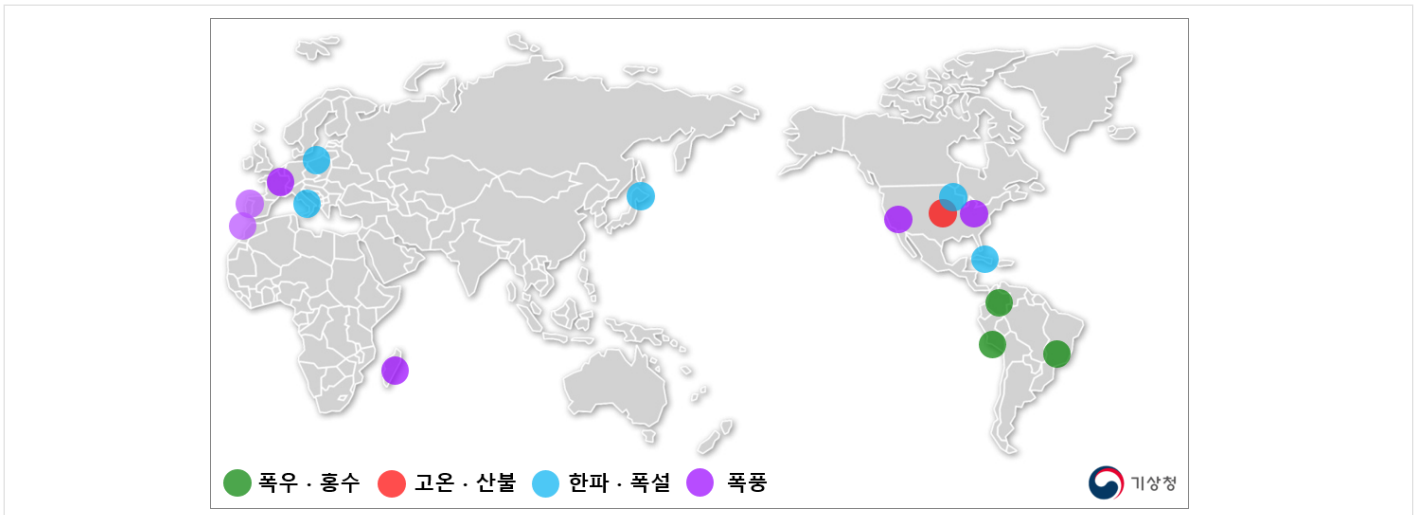
그림 b) 강수량 평년편차(mm): 2026년 2월 누적 강수량 - 평년(1991~2020년) 2월 누적 강수량

※ 자료출처: 미국 환경예측센터(NCEP, National Centers for Environmental Prediction) 재분석자료

※ 전 세계 평균 누적 강수량값과 평년편차값은 모델 기반 재분석자료를 평균한 값이므로 실제 관측값과 차이가 있을 수 있습니다.



2월 전 세계 기상재해



● 폭우·홍수

- (콜롬비아) 폭우로 인해 주택과 도로 침수, 산사태 발생, 13명 사망(2.10.)
- (브라질) 남동부에서 폭우로 산사태 발생, 6명 사망, 5명 부상(2.11.), 남동부 폭우와 홍수 발생, 46명 사망, 21명 실종(2.26.)
- (페루) 남부 폭우로 인해 홍수 발생, 수재민 이송 헬기 추락으로 15명 사망, 주택 5천 채 피해(2.15.~24.)

● 고온·산불

- (미국) 중서부에서 초대형 산불 발생, 약 1,214km² 소실(2.20.)
- (프랑스) 남서부 오르테즈 28.3도 기록, 2월 최고기온 기록 경신(2.25.)

● 한파·폭설

- (일본) 서북부지역에 3m 넘는 역대급 폭설 열흘 넘게 지속, 38명 사망(1.20.~2.6.)
- (폴란드) 영하 27도 한파 발생, 올겨울 37명 사망(2.3.)
- (쿠바) 마탄사스주에서 기온 0도 관측, 기상 관측 이후 가장 낮은 기온 기록(2.3.)
- (이탈리아) 알프스 지역에 폭설로 인해 눈사태 발생, 2명 사망, 기차 탈선으로 5명 부상(2.17.)
- (미국) 북동부 겨울 눈 폭풍으로 인한 폭설, 94cm 적설 기록, 수천 건의 항공편 취소(2.22.~24.)

● 폭풍

- (포르투갈·스페인·모로코) 폭풍 '레오나르도'의 영향으로 폭우 발생, 강물이 범람하여 포르투갈 1명 사망, 스페인 4,000여 명 대피, 모로코 10만 명 이상 대피(2.6.)
- (포르투갈·스페인) 폭풍 '마르타'의 영향으로 홍수 발생, 1명 사망, 스페인 주민 1만 1천여 명 대피(2.8.)
- (마다가스카르) 북서부 마웅 인근에 사이클로 '피티아' 상륙, 3명 사망(2.2.), 토아마시나에 사이클론 '게자니' 강타, 31명 사망, 36명 부상(2.12.)
- (미국) 캘리포니아에 겨울 폭풍으로 인해 눈사태 발생, 8명 사망, 1명 실종(2.19.)
- (프랑스) 온대 저기압성 폭풍으로 35일 연속 강수, 최장 강수일 기록, 3명 사망, 1명 실종(2.20.)

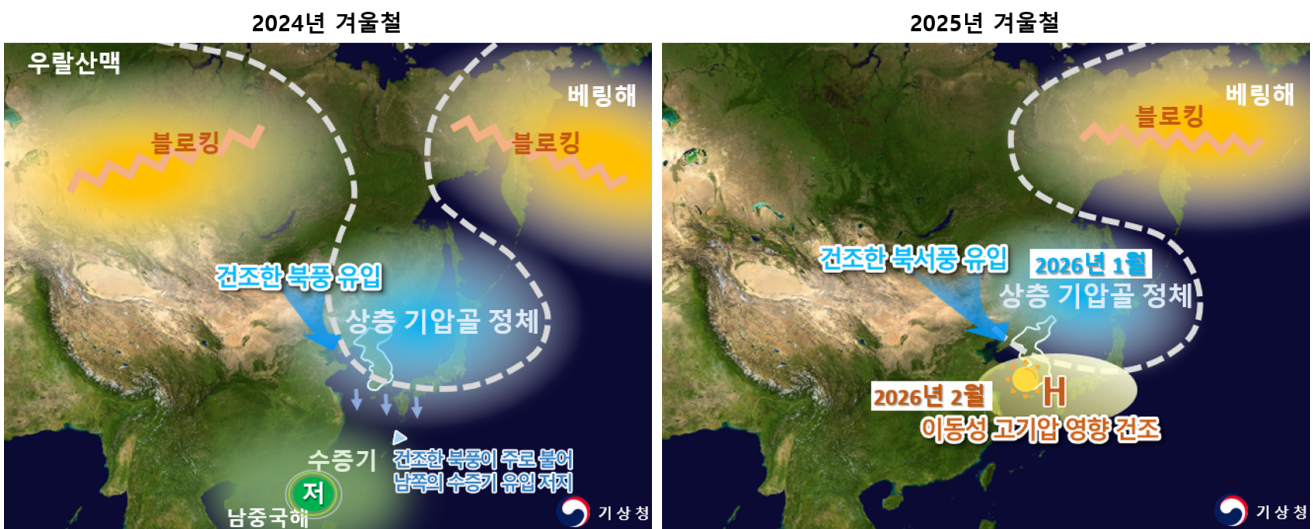
※ 우리나라와 전세계 기상이슈에 대한 정보를 매주 주간기후이슈를 통하여 기후정보포털에 제공하고 있습니다.
 링크를 안내해 드리니 참고하여 주시기 바랍니다.
 (<http://www.climate.go.kr/home/bbs/list.php?code=27&bname=scrap>)

기후 이슈

2년 연속 겨울철 강수량 평년의 절반 수준

2025년 겨울철 강수량은 45.6mm로 평년(89.0mm) 대비 53.0% 수준으로 적었으며 작년(39.6mm)에 이어 평년의 절반 수준으로 최근 2년 연속 겨울철 건조 경향이 나타났습니다. 적은 겨울철 강수량은 블로킹 발생과 열대 서태평양의 활발한 대류 활동과 관련된 것으로 분석됩니다.

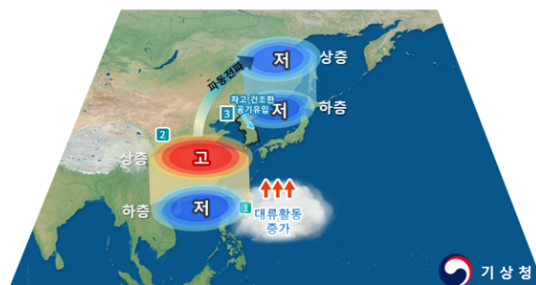
(블로킹 발생) 2024년 겨울철 동안 우랄산맥과 동시베리아~베링해 부근에 블로킹이 자주 발달하여 우리나라 북동쪽에 저기압성 순환이 발달하면서 평년 대비 차고 건조한 북풍이 우리나라로 자주 유입되었고, 남쪽에서 다가오는 저기압의 영향은 적어 따뜻하고 습한 공기가 유입되지 못해 강수량이 적었습니다. 올해 1월에도 동시베리아~베링해 부근에 블로킹이 형성되어 우리나라 북동쪽에 상층 찬 기압골이 자주 발달하였고, 이때 상층 기압골 또는 대륙고기압 확장 영향으로 비·눈이 내렸지만 건조한 북서풍이 우세하여 강수량은 매우 적었습니다.



[그림 1] 강수 관련 기압계 모식도

(열대 서태평양 활발한 대류) 겨울철에 열대 서태평양 지역에서 대류 활동이 평년보다 활발한 경우에는 필리핀해 부근의 하층에 저기압성 순환이 유도되고 상층에 고기압성 순환이 나타나면서 대기 파동에 의해 남북방향으로 전파되어 우리나라 북동쪽 대기 상층에 저기압성 순환을 발달시키는 특성을 보입니다. 2024년과 2025년 겨울철 모두 이 지역에서 대류 활동이 평년보다 활발하였고, 이는 우리나라 북동쪽에 저기압성 순환을 발달시켜 건조한 공기가 유입되면서 강수량이 적었던 것에 영향을 준 것으로 분석됩니다.

겨울철 열대 대류 영향 모식도



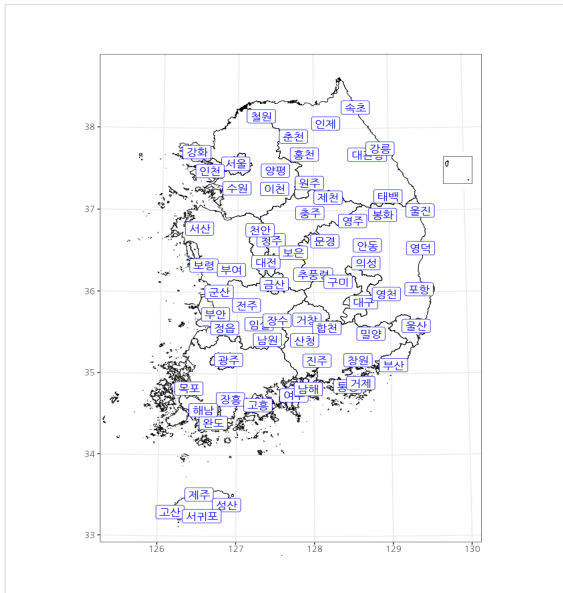
- 1 겨울철 열대 서태평양 대류활동 증가로 대류권 하층 저기압성 순환 발생
- 2 상층에는 고기압이 발생하고, 대기 파동 전파로 연해주~우리나라 북동쪽 상층에 저기압성 순환 유도
- 3 우리나라 동쪽 하층까지 저기압성 순환 발달하면서 차고 건조한 공기가 우리나라로 유입

[그림 2] 강수 관련 열대 대류 영향 모식도



참고

지점 위치정보



- ▶ 지점 위치정보
- 전국 62개 + 제주 4개 지점 위치

※ 이상고온(저온) 발생일수: 이상고온(저온)은 평년(1991~2020년)에 비해 기온이 현저히 높은(낮은) 극한현상으로 일최저·최고기온이 90퍼센타일을 초과(10퍼센타일 미만)에 해당하는 일수를 나타냄

※ 강수일수: 일강수량이 0.1mm 이상인 날의 일수

※ 눈일수: 눈, 소낙눈, 가루눈, 눈보라, 소낙성진눈깨비, 진눈깨비, 싸락눈 중 어느 하나가 관측된 일수

2월 지점별 이상고온 일수 및 현상일수(일)

지점명	이상고온 일수(일)		현상일수(일)		지점명	이상고온 일수(일)		현상일수(일)	
	최고기온	최저기온	강수일수	눈일수		최고기온	최저기온	강수일수	눈일수
속초	9	9	4	-	강화	9	6	3	-
철원	7	5	5	-	양평	8	4	2	-
대관령	6	5	6	-	이천	9	5	3	-
춘천	8	1	2	-	인제	5	4	3	-
강릉	8	8	3	4	홍천	7	3	3	-
서울	10	5	2	3	태백	6	5	6	-
인천	7	6	2	3	제천	7	0	2	-
원주	8	2	3	-	보은	7	0	4	-
수원	9	4	3	3	천안	8	1	3	-
충주	8	1	3	-	보령	9	3	4	-
서산	6	4	4	-	부여	6	1	4	-
울진	8	8	2	-	금산	7	3	4	-
청주	8	6	3	4	부안	8	4	7	-
대전	8	2	3	6	임실	7	1	6	-
추풍령	6	3	4	-	정읍	7	3	6	-
안동	7	2	2	-	남원	6	2	5	-
포항	7	4	3	3	장수	6	2	4	-
군산	9	2	6	-	장흥	7	2	6	-
대구	7	3	3	-	해남	4	0	6	-
전주	7	3	5	5	고흥	6	3	5	-
울산	7	2	4	1	봉화	5	0	3	-
창원	7	2	3	-	영주	7	1	2	-
광주	8	2	6	5	문경	7	3	3	-
부산	5	5	3	2	영덕	7	6	2	-
통영	5	3	3	-	의성	7	3	2	-
목포	4	2	6	5	구미	7	2	3	-
여수	5	1	4	1	영천	7	4	3	-
완도	8	1	6	-	거창	8	1	3	-
제주	6	4	10	-	합천	7	4	2	-
고산	4	4	9	-	밀양	6	5	2	-
성산	6	5	9	-	산청	7	1	4	-
서귀포	5	3	8	-	거제	5	5	3	-
진주	5	2	3	-	남해	5	3	3	-